

Fig. 9 は式(7)を用いて近似した曲線と測定点との比較で、低歪領域ではそれが大きくなるが予歪がゼロの時 Φ_P は 1 になる。

$$\Phi_P = (a \cdot \varepsilon_P + 1)^b \quad \dots \dots \dots \quad (7)$$

ここに、定数 a 及び b はそれぞれ 0.60 および 0.74 で、この式を用いると、予クリープ変形歪量がゼロのとき、当然クリープ損傷度は 1 になる。

4・3 従来の研究との比較

配管部材の使用履歴が明らかにされている場合は、θ プロジェクション法⁶⁾、或は改良θ法⁷⁾を適用することによって最小クリープ速度を推定し、それを基礎にして原理的には余寿命を推定できる。しかし、この方法は、操業温度や応力が変動した場合には適用し難い。また、配管の際に鋼管を曲げるなど、配管部材は使用履歴が明らかでない場合が多いので、これらの方法の適用には制限がある。一方、配管部材の外径及び肉厚等を直接計測する方法は履歴が明らかでなくとも適用可能である点において前者に比べて有利な面があるが、酸化や腐食の影響を直接受けるために精度の高い歪の測定が困難であり⁸⁾、予歪を与えるために要する時間が長いと時効によるクリープ損傷が重畠されるから、一般には予歪の大きさだけでクリープ余寿命を議論することはできない。これに対し、本実験で得られた式(6)は歪のみの影響を示したものであるから時効の影響が無視できないときには適用できない。ここでは、本研究の結果と複雑な予クリープに関する従来の予クリープに関する報告との比較を試みる。

浅川ら⁹⁾は 2.25Cr-1Mo 鋼の予歪量から寿命予測を試みており、Fig.10 はその結果の一部である。図において白丸および黒丸は予歪後に応力が 78.4~118 MPa の下で再負荷クリープ試験を行った結果である。また、図中の曲線 (strain method) は温度 873K、応力 78 MPa におけるクリープ歪と寿命消費率との関係から得られたものである。図において予歪が 10% のところを見ると、予歪を与えたときの平均歪

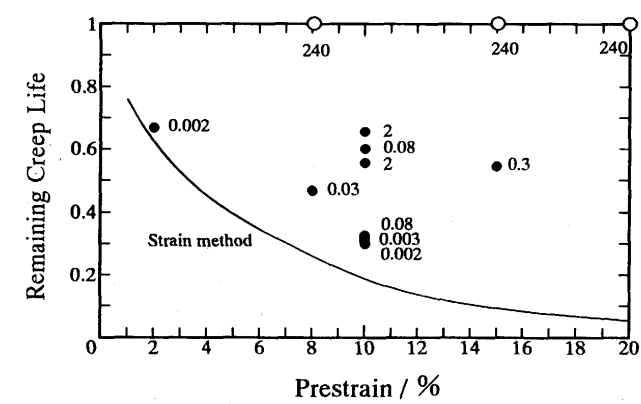


Fig. 10. Remaining creep life versus pre-strain for a 2.25 Cr-1Mo steel⁹⁾. The numerals indicate the average pre-creep rate in %/hr.

速度 (図中の数字は %/h を示している) によって再負荷時のクリープ寿命が変化しているのが分かる。浅川らの結果は再負荷クリープ寿命がほぼ歪の一価関数で表される本研究の結果とは異なっている。また、図中の白丸印は 873K の引張試験で予歪を与えた場合で、再負荷クリープ試験における余寿命が全く予歪に依存していない。彼らの論文には詳細な説明がないが、恐らく平均歪速度の影響であろう。平均歪速度が同じであっても余寿命が異なる場合があるが、これは予クリープ時の温度が異なっているためだと思われる。翻って、本研究における試験 (I) では、平均歪速度が異なっているが、クリープ損傷は殆ど歪量のみで支配されている。この相違は予変形時間 (時効時間) の相違と考えざるを得ない。実際、浅川らの実験条件では 10% の予歪を与えるのに要する時間が $150 \sim 1.8 \times 10^7$ s の間で変化していることが図から読み取れる。これらのことから、クリープ損傷度に及ぼす平均歪速度の影響は重要ではないと結論される。

増山ら¹⁰⁾は 2.25Cr-1Mo 鋼のクリープ中断試験後に組織観察を行い、粒界に析出する炭化物が中断時間の增加とともに球状化することを見出している。Fig.11 はその結果の一部を図示したもので、●印は無負荷の状態の球状化率 (析出物を楕円で近似し、長径に対する短径比で表したもの) と時効時間との関係、■、▲は球状化率とクリープ中断時間

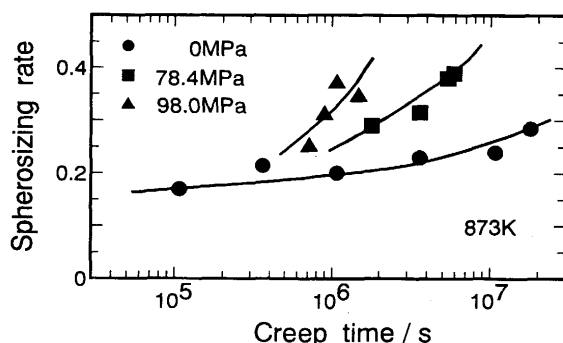


Fig. 11. Spherodizing rate of carbides along grain boundaries versus creep interruption duration elapsed at 873K¹⁰⁾.

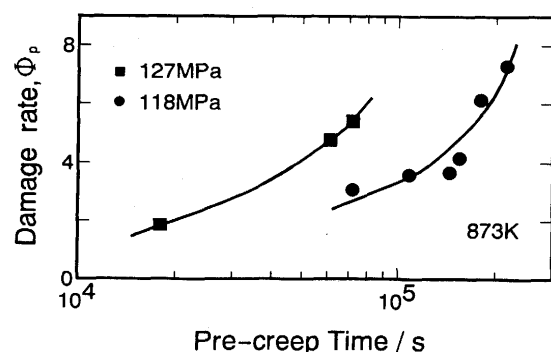


Fig. 12. Creep damage rate, Φ_P , versus logarithm of pre-creep time replotted from Fig. 7.

